

$^{176}\text{Yb}(^{10}\text{B},6n\gamma), ^{174}\text{Yb}(^{11}\text{B},5n\gamma)$  2005E110,1987Kr20

Type	Author	History Citation	Literature Cutoff Date
Full Evaluation	E. A. Mccutchan	NDS 126, 151 (2015)	1-Feb-2015

**2005E110:**  $E(^{11}\text{B})=71$  MeV. Measured  $E\gamma$ ,  $I\gamma$ ,  $\gamma\gamma$ ,  $\gamma\gamma(\theta)$ (DCO),  $\gamma(t)$  using the CAESAR array consisting of six Compton-suppressed n-type coaxial HPGe detectors and two small-volume unsuppressed planar Ge detectors (LEPS). Measured ce with the Super-e electron spectrometer consisting of a superconducting magnet transporter and a Si(Li) detector with an antipositron baffle. Subset of results given in [2003E111](#).

**1987Kr20:**  $E(^{10}\text{B})=45, 50, 55, 50, 60, 65, 70,$  and 73 MeV. Measured  $E\gamma$ ,  $I\gamma$ ,  $\gamma\gamma$ ,  $\gamma(t)$ ,  $\gamma(\theta)$  using one Compton-suppressed Ge(Li) detector and an intrinsic Ge detector. Also used the  $^{181}\text{Ta}(\alpha,5n\gamma)$  reaction at  $E(\alpha)=55$  MeV as a cross check of their results.

 $^{180}\text{Re}$  Levels

The level scheme is that of [2005E110](#). Most band structures observed in [1987Kr20](#) are similar to those reported by [2005E110](#), but differ in bandhead energy and assigned spin. [1987Kr20](#) report a 46.3-keV level with  $T_{1/2}=66$  ns *20*. Such a transition was not observed by [2005E110](#) or by [1990Ve07](#) in  $^{170}\text{Er}(^{14}\text{N},4n\gamma), ^{181}\text{Ta}(\alpha,5n\gamma)$  and is not included in the Adopted Levels. [1987Kr20](#) also report a band composed of 191.1 $\gamma$ , 297.8 $\gamma$ , 386.4 $\gamma$ , 465.6 $\gamma$ , and 514.6 $\gamma$ , with no linking transitions to any other levels. This band was not observed by [2005E110](#) or by [1990Ve07](#) in  $^{170}\text{Er}(^{14}\text{N},4n\gamma), ^{181}\text{Ta}(\alpha,5n\gamma)$  and is not included in the Adopted Levels. [1987Kr20](#) observed  $\gamma$ -ray transitions consistent with the decay of the  $(1)^-$  ground state. They suggest that the  $(5^+)$ ,  $0.0+x$  level observed in reactions studies cascades down through highly converted (and possibly isomeric) low energy transitions.

E(level) <sup>†</sup>	J $\pi$ <sup>‡</sup>	T <sub>1/2</sub> <sup>#</sup>	Comments
0.0	(1) <sup>-</sup>		E(level),J $\pi$ : from the Adopted Levels.
0.0+x <sup>&amp;</sup>	(5) <sup>+</sup>		<a href="#">Additional information 1</a> .
45.8+x <sup>@</sup> 5	(6) <sup>+</sup>		
70.6+x <sup>c</sup> 6	(7) <sup>+</sup>		
123.5+x <sup>&amp;</sup> 6	(7) <sup>+</sup>		
162.8+x <sup>c</sup> 6	(8) <sup>+</sup>		
177.8+x <sup>b</sup> 6	(7) <sup>-</sup>		
205.1+x <sup>d</sup> 6	8 <sup>+</sup>		
230.1+x <sup>@</sup> 5	(8) <sup>+</sup>		
266.5+x <sup>a</sup> 6	(8) <sup>-</sup>		
284.2+x <sup>e</sup> 6	9 <sup>-</sup>	75.6 ns <i>14</i>	T <sub>1/2</sub> : other: 78 ns <i>9</i> from $\gamma(t)$ in <a href="#">1987Kr20</a> .
312.4+x <sup>c</sup> 6	(9) <sup>+</sup>		
363.1+x <sup>&amp;</sup> 6	(9) <sup>+</sup>		
370.7+x <sup>b</sup> 6	(9) <sup>-</sup>		
413.7+x <sup>d</sup> 6	9 <sup>+</sup>		
418.5+x <sup>e</sup> 7	10 <sup>-</sup>		
495.1+x <sup>c</sup> 6	(10) <sup>+</sup>		
523.0+x <sup>@</sup> 6	(10) <sup>+</sup>		
526.5+x <sup>a</sup> 6	(10) <sup>-</sup>		
595.3+x <sup>e</sup> 7	11 <sup>-</sup>		
642.1+x <sup>d</sup> 7	10 <sup>+</sup>		
672.0+x <sup>b</sup> 7	(11) <sup>-</sup>		
696.4+x <sup>&amp;</sup> 6	(11) <sup>+</sup>		
715.7+x <sup>c</sup> 6	(11) <sup>+</sup>		
805.2+x <sup>e</sup> 7	12 <sup>-</sup>		
888.1+x <sup>d</sup> 7	11 <sup>+</sup>		
902.1+x <sup>a</sup> 7	(12) <sup>-</sup>		

Continued on next page (footnotes at end of table)

$^{176}\text{Yb}(^{10}\text{B},6\text{n}\gamma), ^{174}\text{Yb}(^{11}\text{B},5\text{n}\gamma)$  2005El10,1987Kr20 (continued) $^{180}\text{Re}$  Levels (continued)

E(level) <sup>†</sup>	J <sup>π</sup> <sup>‡</sup>	T <sub>1/2</sub> <sup>#</sup>	Comments
905.4+x <sup>@</sup> 6	(12 <sup>+</sup> )		
949.3+x <sup>c</sup> 6	(12 <sup>+</sup> )		
1042.6+x <sup>e</sup> 7	13 <sup>-</sup>		
1079.3+x <sup>b</sup> 7	(13 <sup>-</sup> )		
1132.0+x <sup>&amp;</sup> 6	(13 <sup>+</sup> )		
1149.5+x <sup>d</sup> 7	12 <sup>+</sup>		
1204.8+x <sup>c</sup> 6	(13 <sup>+</sup> )		
1303.7+x <sup>e</sup> 7	14 <sup>-</sup>		
1379.0+x <sup>@</sup> 8	(14 <sup>+</sup> )		
1386.7+x <sup>a</sup> 7	(14 <sup>-</sup> )		
1403.0+x 7	(12 <sup>-</sup> )		
1424.7+x <sup>d</sup> 7	13 <sup>+</sup>		
1482.1+x <sup>c</sup> 6	(14 <sup>+</sup> )		
1566.1+x <sup>f</sup> 7	13 <sup>+</sup>	74.2 ns 14	T <sub>1/2</sub> : other: 67 ns 9 from $\gamma(t)$ in 1987Kr20.
1586.0+x <sup>b</sup> 7	(15 <sup>-</sup> )		
1586.9+x <sup>e</sup> 7	15 <sup>-</sup>		
1643.3+x <sup>&amp;</sup> 6	(15 <sup>+</sup> )		
1669.7+x 7	(13 <sup>-</sup> )		
1700.4+x <sup>g</sup> 7	14 <sup>-</sup>	<5.6 ns	
1711.8+x <sup>d</sup> 7	14 <sup>+</sup>		
1754.9+x <sup>h</sup> 8	15 <sup>-</sup>	<5.6 ns	
1768.0+x <sup>c</sup> 6	(15 <sup>+</sup> )		
1846.3+x <sup>f</sup> 7	(14 <sup>+</sup> )		
1875.4+x <sup>i</sup> 8	16 <sup>+</sup>		
1887.9+x <sup>e</sup> 7	16 <sup>-</sup>		
1926.3+x <sup>@</sup> 8	(16 <sup>+</sup> )		
1929.5+x <sup>g</sup> 8	15 <sup>-</sup>		
1968.7+x <sup>a</sup> 7	(16 <sup>-</sup> )		
2007.7+x <sup>d</sup> 7	15 <sup>+</sup>		
2044.8+x <sup>h</sup> 8	16 <sup>-</sup>		
2075.3+x <sup>c</sup> 6	(16 <sup>+</sup> )		
2139.3+x <sup>i</sup> 8	17 <sup>+</sup>		
2147.9+x <sup>?f</sup> 7	(15 <sup>+</sup> )		
2161.2+x <sup>g</sup> 8	16 <sup>-</sup>		
2186.2+x <sup>b</sup> 7	(17 <sup>-</sup> )		
2204.8+x <sup>e</sup> 7	17 <sup>-</sup>		
2222.7+x <sup>&amp;</sup> 6	(17 <sup>+</sup> )		
2309.6+x <sup>d</sup> 7	16 <sup>+</sup>		
2355.8+x <sup>h</sup> 8	17 <sup>-</sup>		
2375.6+x <sup>c</sup> 7	(17 <sup>+</sup> )		
2415.1+x <sup>i</sup> 8	18 <sup>+</sup>		
2420.2+x <sup>g</sup> 8	17 <sup>-</sup>		
2472.4+x <sup>f</sup> 7	(16 <sup>+</sup> )		
2532.2+x <sup>e</sup> 7	18 <sup>-</sup>		
2537.0+x <sup>@</sup> 9	(18 <sup>+</sup> )		
2616.7+x <sup>d</sup> 7	17 <sup>+</sup>		
2632.8+x <sup>a</sup> 7	(18 <sup>-</sup> )		
2682.9+x <sup>h</sup> 8	18 <sup>-</sup>		

Continued on next page (footnotes at end of table)

$^{176}\text{Yb}(^{10}\text{B},6n\gamma), ^{174}\text{Yb}(^{11}\text{B},5n\gamma)$  2005EI10,1987Kr20 (continued) $^{180}\text{Re}$  Levels (continued)

E(level) <sup>†</sup>	J <sup>π‡</sup>	T <sub>1/2</sub> <sup>#</sup>	Comments
2693.5+x <sup>c</sup> 7	(18 <sup>+</sup> )		
2706.3+x <sup>i</sup> 8	19 <sup>+</sup>		
2709.5+x <sup>g</sup> 8	18 <sup>-</sup>		
2860.9+x <sup>&amp;</sup> 6	(19 <sup>+</sup> )		
2867.4+x <sup>b</sup> 8	(19 <sup>-</sup> )		
2871.9+x <sup>e</sup> 7	19 <sup>-</sup>		
2921.8+x <sup>d</sup> 7	18 <sup>+</sup>		
3001.7+x <sup>g</sup> 8	19 <sup>-</sup>		
3014.1+x <sup>i</sup> 8	20 <sup>+</sup>		
3051.2+x 8	18 <sup>+</sup>		
3068.3+x 8	(18 <sup>+</sup> )		
3122.1+x 8	(18 <sup>+</sup> )		
3202.9+x <sup>@</sup> 9	(20 <sup>+</sup> )		
3209.5+x <sup>e</sup> 7	20 <sup>-</sup>		
3233.9+x <sup>d</sup> 7	(19 <sup>+</sup> )		
3326.8+x <sup>g</sup> 8	20 <sup>-</sup>		
3338.0+x <sup>i</sup> 8	21 <sup>+</sup>		
3352.8+x <sup>?a</sup> 8	(20 <sup>-</sup> )		
3368.9+x 7	(19 <sup>-</sup> )		
3407.8+x 8	(20 <sup>+</sup> )		
3471.0+x <sup>j</sup> 8	21 <sup>-</sup>	9.0 μs 7	T <sub>1/2</sub> : from beam pulse-γ(t) in $^{174}\text{Yb}(^{11}\text{B},5n\gamma)$ using sum of 261γ, 264γ, 286γ, 457γ, and 678γ (2005EI10).
3550.0+x <sup>&amp;</sup> 7	(21 <sup>+</sup> )		
3551.0+x <sup>e</sup> 7	21 <sup>-</sup>		
3615.8+x <sup>b</sup> 8	(21 <sup>-</sup> )		
3667.3+x <sup>g</sup> 8	21 <sup>-</sup>		
3679.6+x <sup>i</sup> 8	22 <sup>+</sup>		
3850.5+x <sup>j</sup> 8	22 <sup>-</sup>		
3861.9+x <sup>e</sup> 8	22 <sup>-</sup>		
3895.0+x <sup>k</sup> 8	(22 <sup>+</sup> )		
3910.5+x <sup>@</sup> 11	(22 <sup>+</sup> )		
4023.5+x <sup>g</sup> 8	22 <sup>-</sup>		
4036.7+x <sup>i</sup> 8	23 <sup>+</sup>		
4205.7+x <sup>e</sup> 8	23 <sup>-</sup>		
4240.1+x <sup>j</sup> 8	23 <sup>-</sup>		
4269.1+x <sup>k</sup> 8	(23 <sup>+</sup> )		
4300.1+x <sup>&amp;</sup> 7	(23 <sup>+</sup> )		
4390.2+x <sup>g</sup> 8	23 <sup>-</sup>		
4411.9+x <sup>?b</sup> 8	(23 <sup>-</sup> )		
4412.2+x <sup>i</sup> 8	24 <sup>+</sup>		
4525.2+x <sup>e</sup> 8	24 <sup>-</sup>		
4636.8+x <sup>j</sup> 8	24 <sup>-</sup>		
4643.2+x <sup>@</sup> 12	(24 <sup>+</sup> )		
4651.0+x <sup>k</sup> 8	(24 <sup>+</sup> )		
4801.3+x <sup>i</sup> 8	25 <sup>+</sup>		
4888.2+x <sup>?e</sup> 8	(25 <sup>-</sup> )		
5039.8+x <sup>k</sup> 8	(25 <sup>+</sup> )		
5047.3+x <sup>j</sup> 10	(25 <sup>-</sup> )		
5102.8+x <sup>?&amp;</sup> 7	(25 <sup>+</sup> )		

Continued on next page (footnotes at end of table)

$^{176}\text{Yb}(^{10}\text{B},6n\gamma), ^{174}\text{Yb}(^{11}\text{B},5n\gamma)$  **2005E110,1987Kr20** (continued) $^{180}\text{Re}$  Levels (continued)

E(level) <sup>†</sup>	$J^{\pi}$ <sup>‡</sup>
5205.9+x <sup>i</sup> 8	26 <sup>+</sup>
5435.4+x <sup>k</sup> 8	(26 <sup>+</sup> )
5454.5+x <sup>j</sup> 10	(26 <sup>-</sup> )
5837.5+x <sup>k</sup> 8	(27 <sup>+</sup> )
6249.2+x <sup>k</sup> 9	(28 <sup>+</sup> )
6672.9+x <sup>k</sup> 9	(29 <sup>+</sup> )

<sup>†</sup> From a least-squares fit to  $E_{\gamma}$  by evaluator.

<sup>‡</sup> As proposed in 2005E110 based on  $\gamma$ -ray multipolarities, decay patterns, assumed rotational structure and gyromagnetic ratios.

# From  $\gamma\gamma(t)$  in  $^{174}\text{Yb}(^{11}\text{B},5n\gamma)$  (2005E110), except where noted.

@ Band(A):  $K^{\pi}=(4^+), \alpha=0$ . Configuration= $\nu 7/2[514] \otimes \pi 1/2[541]$ .

& Band(a):  $K^{\pi}=(4^+), \alpha=1$ . Configuration= $\nu 7/2[514] \otimes \pi 1/2[541]$ .

<sup>a</sup> Band(B):  $K^{\pi}=(5^-), \alpha=0$ . Configuration= $\nu 9/2[624] \otimes \pi 1/2[541]$ .

<sup>b</sup> Band(b):  $K^{\pi}=(5^-), \alpha=1$ . Configuration= $\nu 9/2[624] \otimes \pi 1/2[541]$ .

<sup>c</sup> Band(C):  $K^{\pi}=(7^+)$ . Configuration= $\nu 9/2[624] \otimes \pi 5/2[402]$ .

<sup>d</sup> Band(D):  $K^{\pi}=8^+$ . Configuration= $\nu 7/2[514] \otimes \pi 9/2[514]$ .

<sup>e</sup> Band(E):  $K^{\pi}=9^-$ . Configuration= $\nu 9/2[624] \otimes \pi 9/2[514]$ .

<sup>f</sup> Band(F):  $K^{\pi}=13^+$ , 4-qp band. Configuration= $\nu(7/2[514], 9/2[624], 5/2[512]) \otimes \pi(5/2[402])$ .

<sup>g</sup> Band(G):  $K^{\pi}=14^-$ , 4-qp band. Configuration= $\nu(7/2[514], 9/2[624], 7/2[633]) \otimes \pi(5/2[402])$ .

<sup>h</sup> Band(H):  $K^{\pi}=15^-$ , 4-qp band. Configuration= $\nu(7/2[514], 9/2[624], 5/2[512]) \otimes \pi(9/2[514])$ .

<sup>i</sup> Band(I):  $K^{\pi}=16^+$ , 4-qp band. Configuration= $\nu(7/2[514], 9/2[624], 7/2[633]) \otimes \pi(9/2[514])$ .

<sup>j</sup> Band(J):  $K^{\pi}=21^-$ , 6-qp band. Configuration= $\nu(7/2[514], 9/2[624], 5/2[512]) \otimes \pi(5/2[402], 9/2[514], 7/2[404])$ . The spin-parity of 5048 and 5455 levels in this band are considered as tentative based on e-mail reply from P.M. Walker on November 21, 2005, since the placements of 799.2 $\gamma$  and 809.2 $\gamma$  have now been removed.

<sup>k</sup> Band(K):  $K^{\pi}=(22^+)$ ; 6-qp band. Configuration= $\nu(7/2[514], 9/2[624], 7/2[633]) \otimes \pi(5/2[402], 9/2[514], 7/2[404])$ .

 $\gamma(^{180}\text{Re})$ 

R(DCO) values are given in 2005E110, however, the gating transition used to extract the R(DCO) ratio is not explicitly stated. Since an unambiguous determination of the dipole/quadrupole nature of the transition can not be made from the ratios alone, these values are omitted here.

Conversion electron data are from 2005E110 and  $A_2$  coefficients are from 1987Kr20.

$E_{\gamma}$ <sup>†</sup>	$I_{\gamma}$ <sup>†</sup>	$E_i(\text{level})$	$J_i^{\pi}$	$E_f$	$J_f^{\pi}$	Mult. <sup>‡</sup>	Comments
(25.0)		70.6+x	(7 <sup>+</sup> )	45.8+x	(6 <sup>+</sup> )		
42.4 3	7 3	205.1+x	8 <sup>+</sup>	162.8+x	(8 <sup>+</sup> )	M1	$\alpha(\text{exp})=13\ 4$ $\alpha(\text{exp})$ from transition intensity balance.
45.8 5	18 3	45.8+x	(6 <sup>+</sup> )	0.0+x	(5 <sup>+</sup> )		
54.8 5	6 3	1754.9+x	15 <sup>-</sup>	1700.4+x	14 <sup>-</sup>	M1	$\alpha(\text{exp})=7\ 2$ $\alpha(\text{exp})$ from transition intensity balance.
(62.9)	#	3471.0+x	21 <sup>-</sup>	3407.8+x	(20 <sup>+</sup> )		
77.5 2	3.6 12	123.5+x	(7 <sup>+</sup> )	45.8+x	(6 <sup>+</sup> )	M1	$\alpha(\text{exp})=8.3\ 3$ $\alpha(\text{exp})$ from transition intensity balance.
79.1 2	2.0 4	284.2+x	9 <sup>-</sup>	205.1+x	8 <sup>+</sup>		
(85.4)	#	1754.9+x	15 <sup>-</sup>	1669.7+x	(13 <sup>-</sup> )		

Continued on next page (footnotes at end of table)

$^{176}\text{Yb}(^{10}\text{B},6n\gamma), ^{174}\text{Yb}(^{11}\text{B},5n\gamma)$  **2005E110,1987Kr20** (continued) $\gamma(^{180}\text{Re})$  (continued)

$E_\gamma^\dagger$	$I_\gamma^\dagger$	$E_i(\text{level})$	$J_i^\pi$	$E_f$	$J_f^\pi$	Mult. $^\ddagger$	$\delta^\ddagger$	Comments
88.5 2	7.0 17	266.5+x	(8 <sup>-</sup> )	177.8+x	(7 <sup>-</sup> )			
92.2 6	8.5 12	162.8+x	(8 <sup>+</sup> )	70.6+x	(7 <sup>+</sup> )	D		Mult.: from $A_2=-0.7$ 2.
102.2 1	2.1 10	3471.0+x	21 <sup>-</sup>	3368.9+x	(19 <sup>-</sup> )	E2		$\alpha(\text{exp})=2.5$ 9 $\alpha(\text{exp})$ from transition intensity balance.
104.1 1	7.9 18	370.7+x	(9 <sup>-</sup> )	266.5+x	(8 <sup>-</sup> )			
106.3 5	7.2 20	230.1+x	(8 <sup>+</sup> )	123.5+x	(7 <sup>+</sup> )			
120.5 1	33 7	1875.4+x	16 <sup>+</sup>	1754.9+x	15 <sup>-</sup>	E1		$\alpha(\text{exp})=0.6$ 3 $\alpha(\text{exp})$ from transition intensity balance.
121.4 2	77 22	284.2+x	9 <sup>-</sup>	162.8+x	(8 <sup>+</sup> )	(D)		Mult.: from $A_2<0$ , but with large uncertainty.
132.0 & 3	4.5 14	177.8+x	(7 <sup>-</sup> )	45.8+x	(6 <sup>+</sup> )			
133.2 2	2.4 5	363.1+x	(9 <sup>+</sup> )	230.1+x	(8 <sup>+</sup> )			
134.1 4	16.0 17	1700.4+x	14 <sup>-</sup>	1566.1+x	13 <sup>+</sup>			
134.3 4	10 3	418.5+x	10 <sup>-</sup>	284.2+x	9 <sup>-</sup>			
134.5 2	61 15	205.1+x	8 <sup>+</sup>	70.6+x	(7 <sup>+</sup> )			
141.4 2	3.8 10	1566.1+x	13 <sup>+</sup>	1424.7+x	13 <sup>+</sup>	M1		$\alpha(\text{exp})=1.9$ 2 $\alpha(\text{exp})$ from transition intensity balance.
145.3 1	3.7 8	672.0+x	(11 <sup>-</sup> )	526.5+x	(10 <sup>-</sup> )			
149.5 4	21.8 22	312.4+x	(9 <sup>+</sup> )	162.8+x	(8 <sup>+</sup> )	D		Mult.: from $A_2=-0.4$ 2.
155.7 1	24.8 15	526.5+x	(10 <sup>-</sup> )	370.7+x	(9 <sup>-</sup> )			
159.8 1	2.2 5	523.0+x	(10 <sup>+</sup> )	363.1+x	(9 <sup>+</sup> )			
163.1 8	6.0 8	1566.1+x	13 <sup>+</sup>	1403.0+x	(12 <sup>-</sup> )			
173.4 3	1.7 8	696.4+x	(11 <sup>+</sup> )	523.0+x	(10 <sup>+</sup> )			
176.8 2	21.1 17	595.3+x	11 <sup>-</sup>	418.5+x	10 <sup>-</sup>			
177.1 6	5.1 6	1079.3+x	(13 <sup>-</sup> )	902.1+x	(12 <sup>-</sup> )			
182.5 6	15.4 29	495.1+x	(10 <sup>+</sup> )	312.4+x	(9 <sup>+</sup> )			
184.3 1	3.4 11	230.1+x	(8 <sup>+</sup> )	45.8+x	(6 <sup>+</sup> )			
193.1 2	4.7 10	370.7+x	(9 <sup>-</sup> )	177.8+x	(7 <sup>-</sup> )			
199.8 3	3.1 13	1586.0+x	(15 <sup>-</sup> )	1386.7+x	(14 <sup>-</sup> )			
201.2 8	6.0 6	696.4+x	(11 <sup>+</sup> )	495.1+x	(10 <sup>+</sup> )			
208.6 2	37.7 14	413.7+x	9 <sup>+</sup>	205.1+x	8 <sup>+</sup>	(D)		Mult.: from $A_2<0$ , but with large uncertainty.
209.9 4	31.9 13	805.2+x	12 <sup>-</sup>	595.3+x	11 <sup>-</sup>	D		Mult.: from $A_2=-0.31$ 16.
210.6 4	2.6 13	523.0+x	(10 <sup>+</sup> )	312.4+x	(9 <sup>+</sup> )			
220.5 1	2.8 4	715.7+x	(11 <sup>+</sup> )	495.1+x	(10 <sup>+</sup> )			
228.4 4	35 3	642.1+x	10 <sup>+</sup>	413.7+x	9 <sup>+</sup>	D		Mult.: from $A_2=-0.3$ 1.
229.1 2	6.8 11	1929.5+x	15 <sup>-</sup>	1700.4+x	14 <sup>-</sup>			
229.9 1	13 3	902.1+x	(12 <sup>-</sup> )	672.0+x	(11 <sup>-</sup> )			
231.4 3	6 3	2161.2+x	16 <sup>-</sup>	1929.5+x	15 <sup>-</sup>			
233.6 2	3.2 6	949.3+x	(12 <sup>+</sup> )	715.7+x	(11 <sup>+</sup> )			
237.4 2	20.7 16	1042.6+x	13 <sup>-</sup>	805.2+x	12 <sup>-</sup>			
239.6 1	7.4 10	363.1+x	(9 <sup>+</sup> )	123.5+x	(7 <sup>+</sup> )			
241.8 1	5.5 5	312.4+x	(9 <sup>+</sup> )	70.6+x	(7 <sup>+</sup> )			
245.9 5	29 3	888.1+x	11 <sup>+</sup>	642.1+x	10 <sup>+</sup>	M1+E2	0.9 +5-3	$\alpha(\text{K})\text{exp}=0.23$ 5
252.9 3	2.3 10	949.3+x	(12 <sup>+</sup> )	696.4+x	(11 <sup>+</sup> )			
255.5 1	8.2 13	1204.8+x	(13 <sup>+</sup> )	949.3+x	(12 <sup>+</sup> )			
259.5 2	9 4	2420.2+x	17 <sup>-</sup>	2161.2+x	16 <sup>-</sup>			
260.3 2	12 4	526.5+x	(10 <sup>-</sup> )	266.5+x	(8 <sup>-</sup> )			
261.1 4	9.6 9	1303.7+x	14 <sup>-</sup>	1042.6+x	13 <sup>-</sup>			
261.4 5	31 4	1149.5+x	12 <sup>+</sup>	888.1+x	11 <sup>+</sup>			
262.4 2	3.8 7	1566.1+x	13 <sup>+</sup>	1303.7+x	14 <sup>-</sup>			
263.9 1	29.9 15	2139.3+x	17 <sup>+</sup>	1875.4+x	16 <sup>+</sup>			
275.2 1	13.9 23	1424.7+x	13 <sup>+</sup>	1149.5+x	12 <sup>+</sup>			
275.9 1	25 5	2415.1+x	18 <sup>+</sup>	2139.3+x	17 <sup>+</sup>	M1+E2	0.70 +15-20	$\alpha(\text{K})\text{exp}=0.190$ 25; DCO=1.06 2
277.3 4	3.3 16	1482.1+x	(14 <sup>+</sup> )	1204.8+x	(13 <sup>+</sup> )			

Continued on next page (footnotes at end of table)

$^{176}\text{Yb}(^{10}\text{B},6n\gamma), ^{174}\text{Yb}(^{11}\text{B},5n\gamma)$  **2005E110,1987Kr20** (continued) $\gamma(^{180}\text{Re})$  (continued)

$E_\gamma^\dagger$	$I_\gamma^\dagger$	$E_i(\text{level})$	$J_i^\pi$	$E_f$	$J_f^\pi$	Mult. $^\ddagger$	$\delta^\ddagger$	Comments
280.2& 2	5.6 24	1846.3+x	(14 <sup>+</sup> )	1566.1+x	13 <sup>+</sup>			
283.2 6	3.0 20	1586.9+x	15 <sup>-</sup>	1303.7+x	14 <sup>-</sup>			
285.7 1	6.0 20	3407.8+x	(20 <sup>+</sup> )	3122.1+x	(18 <sup>+</sup> )	E2		$\alpha(\text{K})_{\text{exp}}=0.077$ 12
285.9 4	4.2 13	1768.0+x	(15 <sup>+</sup> )	1482.1+x	(14 <sup>+</sup> )			
287.2 4	4.2 19	1711.8+x	14 <sup>+</sup>	1424.7+x	13 <sup>+</sup>			
289.9 2	12 5	2709.5+x	18 <sup>-</sup>	2420.2+x	17 <sup>-</sup>			
290.0 1	4.4 14	2044.8+x	16 <sup>-</sup>	1754.9+x	15 <sup>-</sup>	(D)		Mult.: from $A_2 < 0$ , but with large uncertainty.
291.1 1	6.6 15	2706.3+x	19 <sup>+</sup>	2415.1+x	18 <sup>+</sup>			
292.1 4	6 3	3001.7+x	19 <sup>-</sup>	2709.5+x	18 <sup>-</sup>			
293.0 2	6.7 22	523.0+x	(10 <sup>+</sup> )	230.1+x	(8 <sup>+</sup> )			
295.9 2	4.9 9	2007.7+x	15 <sup>+</sup>	1711.8+x	14 <sup>+</sup>			
300.3 6	6.5 7	2375.6+x	(17 <sup>+</sup> )	2075.3+x	(16 <sup>+</sup> )			
300.5 4	2.5 10	3368.9+x	(19 <sup>-</sup> )	3068.3+x	(18 <sup>+</sup> )			
301.0 1	7.5 8	1887.9+x	16 <sup>-</sup>	1586.9+x	15 <sup>-</sup>			
301.6& 2	#	2147.9+x?	(15 <sup>+</sup> )	1846.3+x	(14 <sup>+</sup> )			
301.7 4	0.9 8	672.0+x	(11 <sup>-</sup> )	370.7+x	(9 <sup>-</sup> )			
301.8 1	11.1 13	2309.6+x	16 <sup>+</sup>	2007.7+x	15 <sup>+</sup>			
305.1 3	3.1 7	2921.8+x	18 <sup>+</sup>	2616.7+x	17 <sup>+</sup>			
307.1 1	9.7 11	2616.7+x	17 <sup>+</sup>	2309.6+x	16 <sup>+</sup>			
307.2 6	6.2 6	2075.3+x	(16 <sup>+</sup> )	1768.0+x	(15 <sup>+</sup> )			
307.4 2	6.9 24	3014.1+x	20 <sup>+</sup>	2706.3+x	19 <sup>+</sup>	M1+E2	1.2 +5-3	$\alpha(\text{K})_{\text{exp}}=0.107$ 20
307.8 3	9 3	1386.7+x	(14 <sup>-</sup> )	1079.3+x	(13 <sup>-</sup> )			
310.9 2	1.0 2	3861.9+x	22 <sup>-</sup>	3551.0+x	21 <sup>-</sup>			
311.0 4	10.0 10	595.3+x	11 <sup>-</sup>	284.2+x	9 <sup>-</sup>			
311.0 2	6.2 22	2355.8+x	17 <sup>-</sup>	2044.8+x	16 <sup>-</sup>			
312.1 3	2.9 9	3233.9+x	(19 <sup>+</sup> )	2921.8+x	18 <sup>+</sup>			
316.9 2	3.5 13	2204.8+x	17 <sup>-</sup>	1887.9+x	16 <sup>-</sup>			
317.7 4	3.0 10	3368.9+x	(19 <sup>-</sup> )	3051.2+x	18 <sup>+</sup>			
317.9 1	6.5 20	2693.5+x	(18 <sup>+</sup> )	2375.6+x	(17 <sup>+</sup> )			
319.2 4	#	3001.7+x	19 <sup>-</sup>	2682.9+x	18 <sup>-</sup>			
319.6 5	0.7 4	4525.2+x	24 <sup>-</sup>	4205.7+x	23 <sup>-</sup>			
323.8 3	6.9 24	3338.0+x	21 <sup>+</sup>	3014.1+x	20 <sup>+</sup>			
324.5& 2	#	2472.4+x	(16 <sup>+</sup> )	2147.9+x?	(15 <sup>+</sup> )			
325.1 3	8 3	3326.8+x	20 <sup>-</sup>	3001.7+x	19 <sup>-</sup>			
327.1 2	6.2 10	2682.9+x	18 <sup>-</sup>	2355.8+x	17 <sup>-</sup>			
327.3 1	3.3 7	2532.2+x	18 <sup>-</sup>	2204.8+x	17 <sup>-</sup>			
331.9 8	6.5 7	495.1+x	(10 <sup>+</sup> )	162.8+x	(8 <sup>+</sup> )			
333.3 1	6.5 15	696.4+x	(11 <sup>+</sup> )	363.1+x	(9 <sup>+</sup> )			
336.9 6	2.3 8	3209.5+x	20 <sup>-</sup>	2871.9+x	19 <sup>-</sup>			
339.8 2	2.3 4	2871.9+x	19 <sup>-</sup>	2532.2+x	18 <sup>-</sup>			
340.9 2	4.2 22	3667.3+x	21 <sup>-</sup>	3326.8+x	20 <sup>-</sup>			
341.0 8	9 3	3679.6+x	22 <sup>+</sup>	3338.0+x	21 <sup>+</sup>			
341.5 1	3.2 5	3551.0+x	21 <sup>-</sup>	3209.5+x	20 <sup>-</sup>			
343.4 6	2.4 9	4205.7+x	23 <sup>-</sup>	3861.9+x	22 <sup>-</sup>			
352.6 2	2.1 5	715.7+x	(11 <sup>+</sup> )	363.1+x	(9 <sup>+</sup> )			
356.6 2	6.2 25	4023.5+x	22 <sup>-</sup>	3667.3+x	21 <sup>-</sup>			
357.8 2	3.8 22	4036.7+x	23 <sup>+</sup>	3679.6+x	22 <sup>+</sup>			
363.0& 2	#	4888.2+x?	(25 <sup>-</sup> )	4525.2+x	24 <sup>-</sup>			
366.3 3	2.3 12	4390.2+x	23 <sup>-</sup>	4023.5+x	22 <sup>-</sup>			
374.0 1	4.8 13	4269.1+x	(23 <sup>+</sup> )	3895.0+x	(22 <sup>+</sup> )			
375.8 1	14 3	902.1+x	(12 <sup>-</sup> )	526.5+x	(10 <sup>-</sup> )			
375.8 1	7.0 5	4412.2+x	24 <sup>+</sup>	4036.7+x	23 <sup>+</sup>			
380.0 4	4.1 8	3850.5+x	22 <sup>-</sup>	3471.0+x	21 <sup>-</sup>			
381.9 1	3.0 11	4651.0+x	(24 <sup>+</sup> )	4269.1+x	(23 <sup>+</sup> )			

Continued on next page (footnotes at end of table)

<sup>176</sup>Yb(<sup>10</sup>B,6nγ), <sup>174</sup>Yb(<sup>11</sup>B,5nγ) **2005E110,1987Kr20 (continued)**

γ(<sup>180</sup>Re) (continued)

<u>E<sub>γ</sub><sup>†</sup></u>	<u>I<sub>γ</sub><sup>†</sup></u>	<u>E<sub>i</sub>(level)</u>	<u>J<sub>i</sub><sup>π</sup></u>	<u>E<sub>f</sub></u>	<u>J<sub>f</sub><sup>π</sup></u>	<u>Mult.<sup>‡</sup></u>	<u>δ<sup>‡</sup></u>	<u>Comments</u>
382.4 1	17 3	905.4+x	(12 <sup>+</sup> )	523.0+x	(10 <sup>+</sup> )			
382.5& 3	7.4 25	1968.7+x	(16 <sup>-</sup> )	1586.0+x	(15 <sup>-</sup> )			
383.7 6	2.0 7	696.4+x	(11 <sup>+</sup> )	312.4+x	(9 <sup>+</sup> )			
386.7 6	6.9 7	805.2+x	12 <sup>-</sup>	418.5+x	10 <sup>-</sup>			
388.7 2	1.5 6	5039.8+x	(25 <sup>+</sup> )	4651.0+x	(24 <sup>+</sup> )			
389.5 2	1.9 12	4240.1+x	23 <sup>-</sup>	3850.5+x	22 <sup>-</sup>			
389.5 4	6.7 10	4801.3+x	25 <sup>+</sup>	4412.2+x	24 <sup>+</sup>			
395.7 3	1.1 5	5435.4+x	(26 <sup>+</sup> )	5039.8+x	(25 <sup>+</sup> )			
396.6 1	3.6 19	4636.8+x	24 <sup>-</sup>	4240.1+x	23 <sup>-</sup>			
402.5 6	0.6 4	5837.5+x	(27 <sup>+</sup> )	5435.4+x	(26 <sup>+</sup> )			
403.4 2	3.8 7	715.7+x	(11 <sup>+</sup> )	312.4+x	(9 <sup>+</sup> )			
404.2 2	#	5205.9+x	26 <sup>+</sup>	4801.3+x	25 <sup>+</sup>			
407.2 2	10.0 10	1079.3+x	(13 <sup>-</sup> )	672.0+x	(11 <sup>-</sup> )			
407.2 3	#	5454.5+x	(26 <sup>-</sup> )	5047.3+x	(25 <sup>-</sup> )			
410.5 2	4.5 8	905.4+x	(12 <sup>+</sup> )	495.1+x	(10 <sup>+</sup> )			
410.5 5	4.5 20	5047.3+x	(25 <sup>-</sup> )	4636.8+x	24 <sup>-</sup>			
411.7 4	#	6249.2+x	(28 <sup>+</sup> )	5837.5+x	(27 <sup>+</sup> )			
416.3 1	5.4 11	1132.0+x	(13 <sup>+</sup> )	715.7+x	(11 <sup>+</sup> )			
416.6 4	19.8 15	1566.1+x	13 <sup>+</sup>	1149.5+x	12 <sup>+</sup>	M1+E2	1.0 2	α(K)exp=0.054 6
423.7 2	#	6672.9+x	(29 <sup>+</sup> )	6249.2+x	(28 <sup>+</sup> )			
424.0 2	10.7 11	3895.0+x	(22 <sup>+</sup> )	3471.0+x	21 <sup>-</sup>			
435.6 1	10.2 23	1132.0+x	(13 <sup>+</sup> )	696.4+x	(11 <sup>+</sup> )			
437.0 4	4.5 16	642.1+x	10 <sup>+</sup>	205.1+x	8 <sup>+</sup>	E2		Mult.: Q from A <sub>2</sub> =+0.3 1, E2 from assumed band structure.
447.3 4	12.1 11	1042.6+x	13 <sup>-</sup>	595.3+x	11 <sup>-</sup>	E2		α(K)exp=0.023 10 Mult.: A <sub>2</sub> =+0.7 2 is consistent with E2 character.
454.1 6	5.5 17	949.3+x	(12 <sup>+</sup> )	495.1+x	(10 <sup>+</sup> )			
456.8 6	11.8 10	3471.0+x	21 <sup>-</sup>	3014.1+x	20 <sup>+</sup>	E1		α(K)exp=0.0084 10
460.6 2	4.6 21	2161.2+x	16 <sup>-</sup>	1700.4+x	14 <sup>-</sup>			
473.6 6	14 3	1379.0+x	(14 <sup>+</sup> )	905.4+x	(12 <sup>+</sup> )			
474.3 8	16.3 19	888.1+x	11 <sup>+</sup>	413.7+x	9 <sup>+</sup>	E2		α(K)exp=0.026 6 Mult.: A <sub>2</sub> =+0.24 2 is consistent with E2 character.
484.6 1	28 6	1386.7+x	(14 <sup>-</sup> )	902.1+x	(12 <sup>-</sup> )			
489.2 2	5.5 10	1204.8+x	(13 <sup>+</sup> )	715.7+x	(11 <sup>+</sup> )			
491.7 5	1.8 19	2420.2+x	17 <sup>-</sup>	1929.5+x	15 <sup>-</sup>			
498.6 4	11.7 11	1303.7+x	14 <sup>-</sup>	805.2+x	12 <sup>-</sup>			
506.5 2	16 5	1586.0+x	(15 <sup>-</sup> )	1079.3+x	(13 <sup>-</sup> )			
507.4 3	9.2 22	1149.5+x	12 <sup>+</sup>	642.1+x	10 <sup>+</sup>	E2		α(K)exp=0.020 3; α(L)exp=0.005 2
508.4 2	0.8 2	1204.8+x	(13 <sup>+</sup> )	696.4+x	(11 <sup>+</sup> )			
511.3 1	7.2 17	1643.3+x	(15 <sup>+</sup> )	1132.0+x	(13 <sup>+</sup> )			
523.5 1	6.0 9	1566.1+x	13 <sup>+</sup>	1042.6+x	13 <sup>-</sup>			
532.7 2	5.1 10	1482.1+x	(14 <sup>+</sup> )	949.3+x	(12 <sup>+</sup> )			
536.6 2	6.6 13	1424.7+x	13 <sup>+</sup>	888.1+x	11 <sup>+</sup>	E2		Mult.: Q from A <sub>2</sub> =+0.37 7, E2 from assumed band structure.
539.7 3	4.0 22	2415.1+x	18 <sup>+</sup>	1875.4+x	16 <sup>+</sup>			
544.3 4	12.8 10	1586.9+x	15 <sup>-</sup>	1042.6+x	13 <sup>-</sup>			
547.3 1	9.5 24	1926.3+x	(16 <sup>+</sup> )	1379.0+x	(14 <sup>+</sup> )			
548.2 1	2.6 21	2709.5+x	18 <sup>-</sup>	2161.2+x	16 <sup>-</sup>			
562.3 3	3.8 13	1711.8+x	14 <sup>+</sup>	1149.5+x	12 <sup>+</sup>			
563.2 2	7.3 4	1768.0+x	(15 <sup>+</sup> )	1204.8+x	(13 <sup>+</sup> )			
567.0 3	2.8 16	2706.3+x	19 <sup>+</sup>	2139.3+x	17 <sup>+</sup>			
579.4 2	5.2 16	2222.7+x	(17 <sup>+</sup> )	1643.3+x	(15 <sup>+</sup> )			
581.5 1	4.6 19	3001.7+x	19 <sup>-</sup>	2420.2+x	17 <sup>-</sup>			
581.8& 2	#	2147.9+x?	(15 <sup>+</sup> )	1566.1+x	13 <sup>+</sup>			

Continued on next page (footnotes at end of table)

$^{176}\text{Yb}(^{10}\text{B},6\text{n}\gamma), ^{174}\text{Yb}(^{11}\text{B},5\text{n}\gamma)$  **2005E110,1987Kr20** (continued) $\gamma(^{180}\text{Re})$  (continued)

$E_\gamma$ <sup>†</sup>	$I_\gamma$ <sup>†</sup>	$E_i(\text{level})$	$J_i^\pi$	$E_f$	$J_f^\pi$	Mult. <sup>‡</sup>	Comments
582.2 4	10 5	1968.7+x	(16 <sup>-</sup> )	1386.7+x	(14 <sup>-</sup> )		
583.0 3	6.7 16	2007.7+x	15 <sup>+</sup>	1424.7+x	13 <sup>+</sup>		
584.2 1	8.9 13	1887.9+x	16 <sup>-</sup>	1303.7+x	14 <sup>-</sup>		
593.2 3	4.7 11	2075.3+x	(16 <sup>+</sup> )	1482.1+x	(14 <sup>+</sup> )		
597.7 4	8.0 20	2309.6+x	16 <sup>+</sup>	1711.8+x	14 <sup>+</sup>	E2	Mult.: Q from $A_2=0.52$ 14, E2 from assumed band structure.
599.7 3	6 4	3014.1+x	20 <sup>+</sup>	2415.1+x	18 <sup>+</sup>	E2	$\alpha(\text{K})\text{exp}=0.012$ 2
600.2 2	16 6	2186.2+x	(17 <sup>-</sup> )	1586.0+x	(15 <sup>-</sup> )		
601.0 2	#	2355.8+x	17 <sup>-</sup>	1754.9+x	15 <sup>-</sup>		
607.6 6	10.7 13	2375.6+x	(17 <sup>+</sup> )	1768.0+x	(15 <sup>+</sup> )		
609.0 1	16.7 22	2616.7+x	17 <sup>+</sup>	2007.7+x	15 <sup>+</sup>		
610.6 2	8 3	2537.0+x	(18 <sup>+</sup> )	1926.3+x	(16 <sup>+</sup> )		
612.2 2	12.3 18	2921.8+x	18 <sup>+</sup>	2309.6+x	16 <sup>+</sup>		
616.9 4	4 3	3326.8+x	20 <sup>-</sup>	2709.5+x	18 <sup>-</sup>		
617.2& 1	15.8 21	3233.9+x	(19 <sup>+</sup> )	2616.7+x	17 <sup>+</sup>		
618.2 2	#	2693.5+x	(18 <sup>+</sup> )	2075.3+x	(16 <sup>+</sup> )		
618.3 8	9.7 10	2204.8+x	17 <sup>-</sup>	1586.9+x	15 <sup>-</sup>		
626.1& 2	#	2472.4+x	(16 <sup>+</sup> )	1846.3+x	(14 <sup>+</sup> )		
631.9 5	5 5	3338.0+x	21 <sup>+</sup>	2706.3+x	19 <sup>+</sup>		
638.1 1	2.8 11	2682.9+x	18 <sup>-</sup>	2044.8+x	16 <sup>-</sup>		
638.2 2	3.9 15	2860.9+x	(19 <sup>+</sup> )	2222.7+x	(17 <sup>+</sup> )		
644.5 6	7.0 7	2532.2+x	18 <sup>-</sup>	1887.9+x	16 <sup>-</sup>		
651.6 6	2.3 4	3861.9+x	22 <sup>-</sup>	3209.5+x	20 <sup>-</sup>		
654.8 2	2.1 4	4205.7+x	23 <sup>-</sup>	3551.0+x	21 <sup>-</sup>		
663.0 4	2.0 9	4525.2+x	24 <sup>-</sup>	3861.9+x	22 <sup>-</sup>		
664.1 2	5 3	2632.8+x	(18 <sup>-</sup> )	1968.7+x	(16 <sup>-</sup> )		
665.5 1	8 4	3679.6+x	22 <sup>+</sup>	3014.1+x	20 <sup>+</sup>		
665.9 2	6.9 20	3202.9+x	(20 <sup>+</sup> )	2537.0+x	(18 <sup>+</sup> )		
666.0 4	#	3667.3+x	21 <sup>-</sup>	3001.7+x	19 <sup>-</sup>		
667.1 1	6.2 7	2871.9+x	19 <sup>-</sup>	2204.8+x	17 <sup>-</sup>		
676.9 4	4.5 8	3209.5+x	20 <sup>-</sup>	2532.2+x	18 <sup>-</sup>		
678.1 1	16.9 23	1566.1+x	13 <sup>+</sup>	888.1+x	11 <sup>+</sup>	E2	$\alpha(\text{K})\text{exp}=0.008$ 1
679.3 2	4.4 5	3551.0+x	21 <sup>-</sup>	2871.9+x	19 <sup>-</sup>		
681.2 3	6 4	2867.4+x	(19 <sup>-</sup> )	2186.2+x	(17 <sup>-</sup> )		
682.6& 4	1.0 4	4888.2+x?	(25 <sup>-</sup> )	4205.7+x	23 <sup>-</sup>		
689.1 2	#	3550.0+x	(21 <sup>+</sup> )	2860.9+x	(19 <sup>+</sup> )		
696.5 1	5 3	4023.5+x	22 <sup>-</sup>	3326.8+x	20 <sup>-</sup>		
698.7 2	#	4036.7+x	23 <sup>+</sup>	3338.0+x	21 <sup>+</sup>		
707.6 6	2.2 10	3910.5+x	(22 <sup>+</sup> )	3202.9+x	(20 <sup>+</sup> )		
720.0& 2	#	3352.8+x?	(20 <sup>-</sup> )	2632.8+x	(18 <sup>-</sup> )		
724.1 5	6 3	4390.2+x	23 <sup>-</sup>	3667.3+x	21 <sup>-</sup>		
731.8 2	#	4412.2+x	24 <sup>+</sup>	3679.6+x	22 <sup>+</sup>		
732.7 5	2.0 10	4643.2+x	(24 <sup>+</sup> )	3910.5+x	(22 <sup>+</sup> )		
748.4 2	#	3615.8+x	(21 <sup>-</sup> )	2867.4+x	(19 <sup>-</sup> )		
750.1 2	#	4300.1+x	(23 <sup>+</sup> )	3550.0+x	(21 <sup>+</sup> )		
756.1 3	0.7 4	4651.0+x	(24 <sup>+</sup> )	3895.0+x	(22 <sup>+</sup> )		
761.0 1	3.8 5	1566.1+x	13 <sup>+</sup>	805.2+x	12 <sup>-</sup>		
764.2 2	#	4801.3+x	25 <sup>+</sup>	4036.7+x	23 <sup>+</sup>		
768.3 5	1.2 10	4240.1+x	23 <sup>-</sup>	3471.0+x	21 <sup>-</sup>		
771.2 4	0.7 4	5039.8+x	(25 <sup>+</sup> )	4269.1+x	(23 <sup>+</sup> )		
784.2 4	0.7 3	5435.4+x	(26 <sup>+</sup> )	4651.0+x	(24 <sup>+</sup> )		
786.8 3	0.7 5	4636.8+x	24 <sup>-</sup>	3850.5+x	22 <sup>-</sup>		

Continued on next page (footnotes at end of table)



$^{176}\text{Yb}(^{10}\text{B},6\text{n}\gamma), ^{174}\text{Yb}(^{11}\text{B},5\text{n}\gamma)$  **2005E110,1987Kr20** (continued) $\gamma(^{180}\text{Re})$  (continued)

$E_\gamma$ <sup>†</sup>	$I_\gamma$ <sup>†</sup>	$E_i(\text{level})$	$J_i^\pi$	$E_f$	$J_f^\pi$	Mult. <sup>‡</sup>	Comments
794.1 2	#	5205.9+x	26 <sup>+</sup>	4412.2+x	24 <sup>+</sup>		
796.0& 2	#	4411.9+x?	(23 <sup>-</sup> )	3615.8+x	(21 <sup>-</sup> )		
797.7 3	0.8 4	5837.5+x	(27 <sup>+</sup> )	5039.8+x	(25 <sup>+</sup> )		
<sup>x</sup> 799.2@ 4	0.4 3						
802.7& 2	#	5102.8+x?	(25 <sup>+</sup> )	4300.1+x	(23 <sup>+</sup> )		
807.8 6	1.9 7	1403.0+x	(12 <sup>-</sup> )	595.3+x	11 <sup>-</sup>		
<sup>x</sup> 809.2@ 4	0.4 3						
813.5 6	0.6 2	6249.2+x	(28 <sup>+</sup> )	5435.4+x	(26 <sup>+</sup> )		
835.6 6	3 2	6672.9+x	(29 <sup>+</sup> )	5837.5+x	(27 <sup>+</sup> )		
895.3 8	0.8 2	1700.4+x	14 <sup>-</sup>	805.2+x	12 <sup>-</sup>		
912.2 3	1.3 3	3051.2+x	18 <sup>+</sup>	2139.3+x	17 <sup>+</sup>		
929.0 2	1.5 2	3068.3+x	(18 <sup>+</sup> )	2139.3+x	17 <sup>+</sup>		
982.8 2	1.3 3	3122.1+x	(18 <sup>+</sup> )	2139.3+x	17 <sup>+</sup>		
984.5 1	8.7 13	1403.0+x	(12 <sup>-</sup> )	418.5+x	10 <sup>-</sup>		
1074.4 3	2.3 10	1669.7+x	(13 <sup>-</sup> )	595.3+x	11 <sup>-</sup>		
1164.1 3	0.7 2	3368.9+x	(19 <sup>-</sup> )	2204.8+x	17 <sup>-</sup>		
1175.8 1	4.8 16	3051.2+x	18 <sup>+</sup>	1875.4+x	16 <sup>+</sup>	E2	$\alpha(\text{K})\text{exp}=0.003$ 1
1192.9 2	1.5 4	3068.3+x	(18 <sup>+</sup> )	1875.4+x	16 <sup>+</sup>	(E2)	$\alpha(\text{K})\text{exp}=0.005$ 2 Mult.: M1 or E2 from $\alpha(\text{K})\text{exp}$ , (E2) from assumed band structure.
1246.7 1	4.1 10	3122.1+x	(18 <sup>+</sup> )	1875.4+x	16 <sup>+</sup>		

<sup>†</sup> From [2005E110](#).

<sup>‡</sup> From conversion electron data of [2005E110](#), except where noted.

# Weak transition.

@ Placements of 799.2 $\gamma$  from 5047.9, 25<sup>-</sup> level and 809.2 $\gamma$  from 5455.2, 26<sup>-</sup> level in band #9 (see Fig. 2 in [2005E110](#)) have been removed based on e-mail reply from P.M. Walker on November 21, 2005. These  $\gamma$ -rays do not fit in the level scheme as shown in Fig. 2 and Table I of [2005E110](#).

& Placement of transition in the level scheme is uncertain.

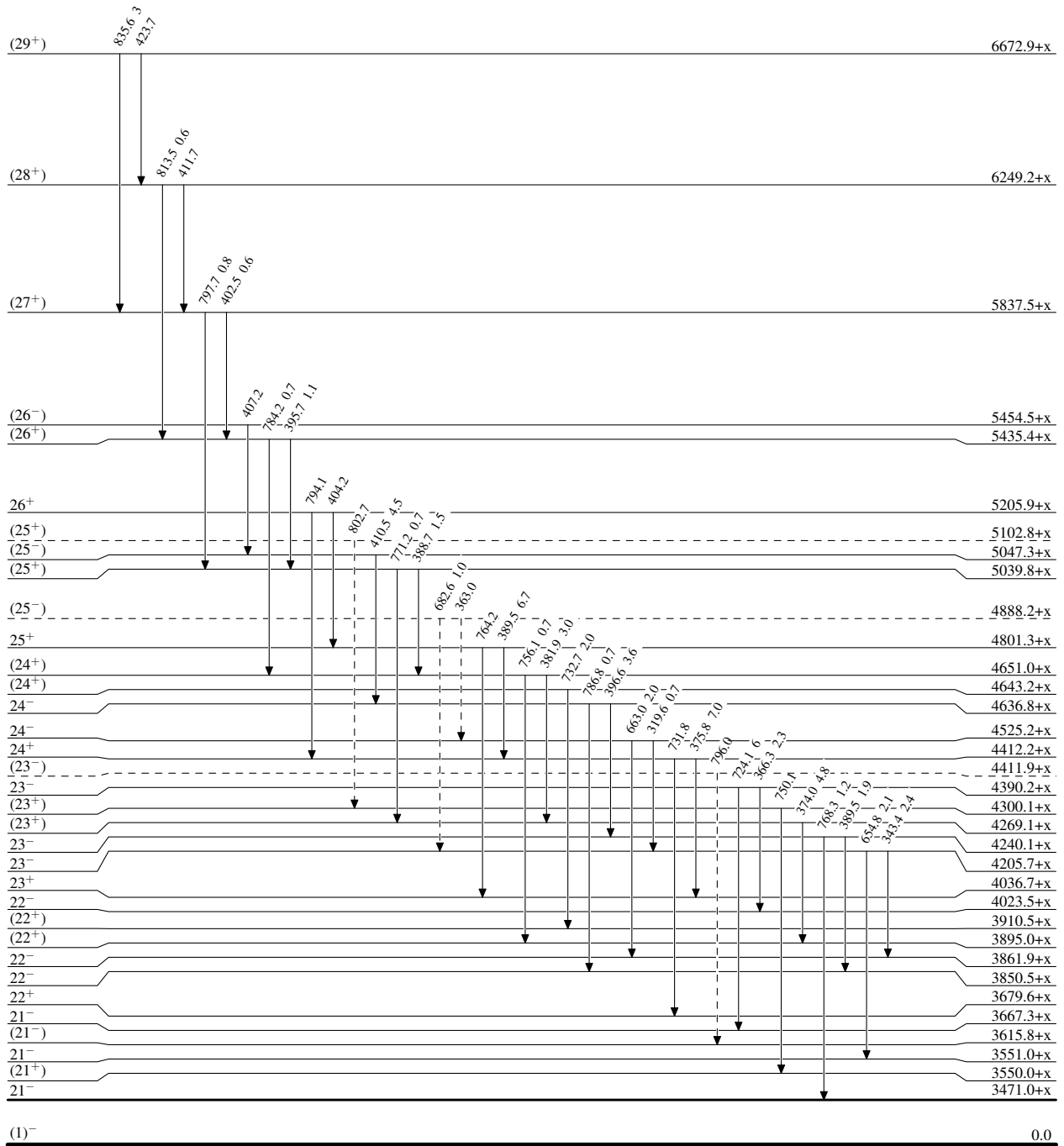
<sup>x</sup>  $\gamma$  ray not placed in level scheme.

$^{176}\text{Yb}(^{10}\text{B},6\text{n}\gamma), ^{174}\text{Yb}(^{11}\text{B},5\text{n}\gamma)$  2005El10,1987Kr20

Legend

Level Scheme  
Intensities: Relative  $I_\gamma$

- ▶  $I_\gamma < 2\% \times I_\gamma^{\text{max}}$
- ▶  $I_\gamma < 10\% \times I_\gamma^{\text{max}}$
- ▶  $I_\gamma > 10\% \times I_\gamma^{\text{max}}$
- - - -▶  $\gamma$  Decay (Uncertain)



9.0  $\mu\text{s}$  7

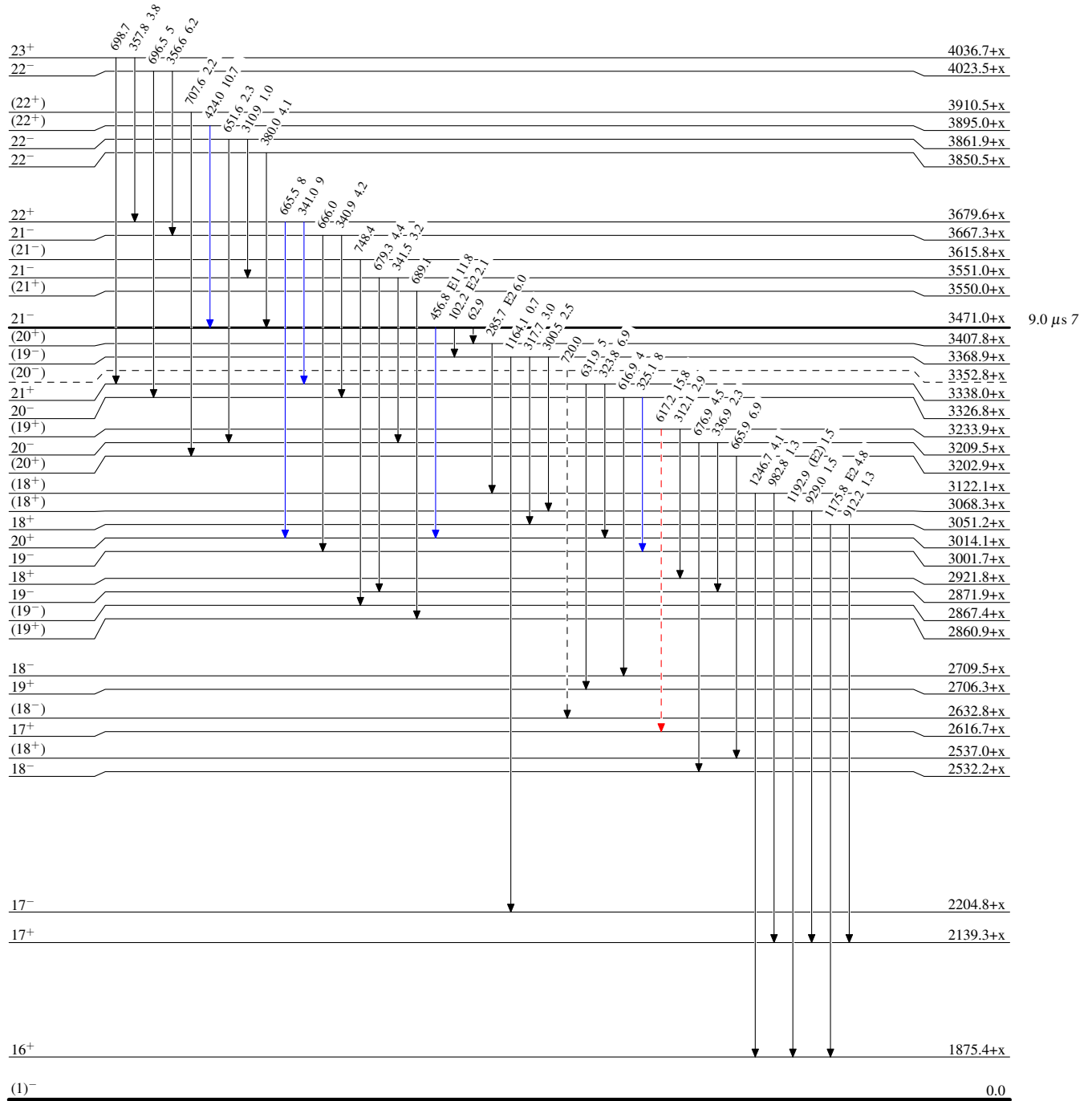
<sup>176</sup>Yb(<sup>10</sup>B,6n $\gamma$ ), <sup>174</sup>Yb(<sup>11</sup>B,5n $\gamma$ ) 2005El10,1987Kr20

Legend

Level Scheme (continued)

Intensities: Relative I $\gamma$

- $\longrightarrow$  I $\gamma$  < 2%  $\times$  I $\gamma^{max}$
- $\longrightarrow$  I $\gamma$  < 10%  $\times$  I $\gamma^{max}$
- $\longrightarrow$  I $\gamma$  > 10%  $\times$  I $\gamma^{max}$
- $\dashrightarrow$   $\gamma$  Decay (Uncertain)



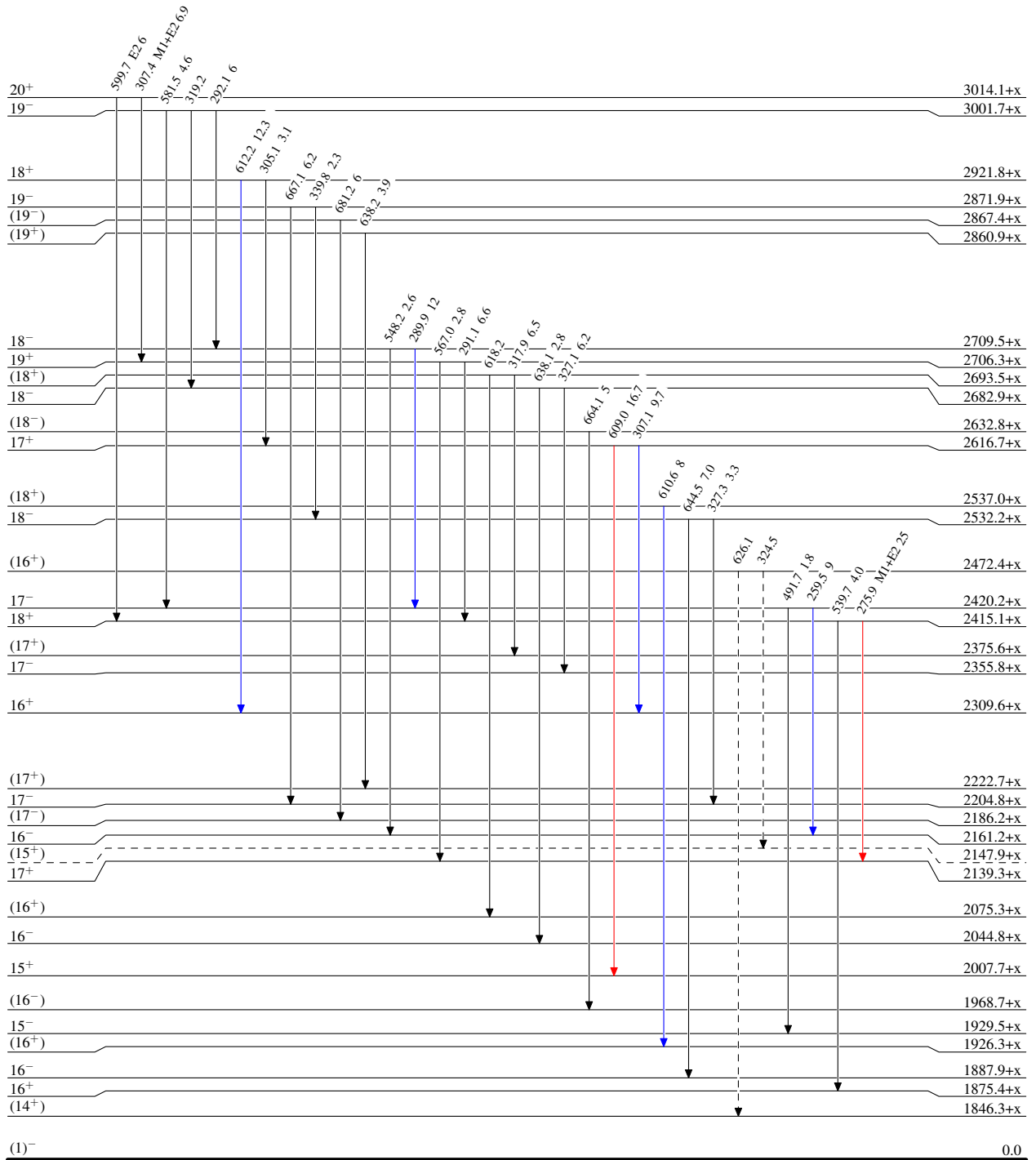
$^{176}\text{Yb}(^{10}\text{B},6n\gamma), ^{174}\text{Yb}(^{11}\text{B},5n\gamma)$  2005EI10,1987Kr20

Legend

Level Scheme (continued)

Intensities: Relative  $I_\gamma$

- $I_\gamma < 2\% \times I_\gamma^{max}$
- $I_\gamma < 10\% \times I_\gamma^{max}$
- $I_\gamma > 10\% \times I_\gamma^{max}$
- - - - - →  $\gamma$  Decay (Uncertain)



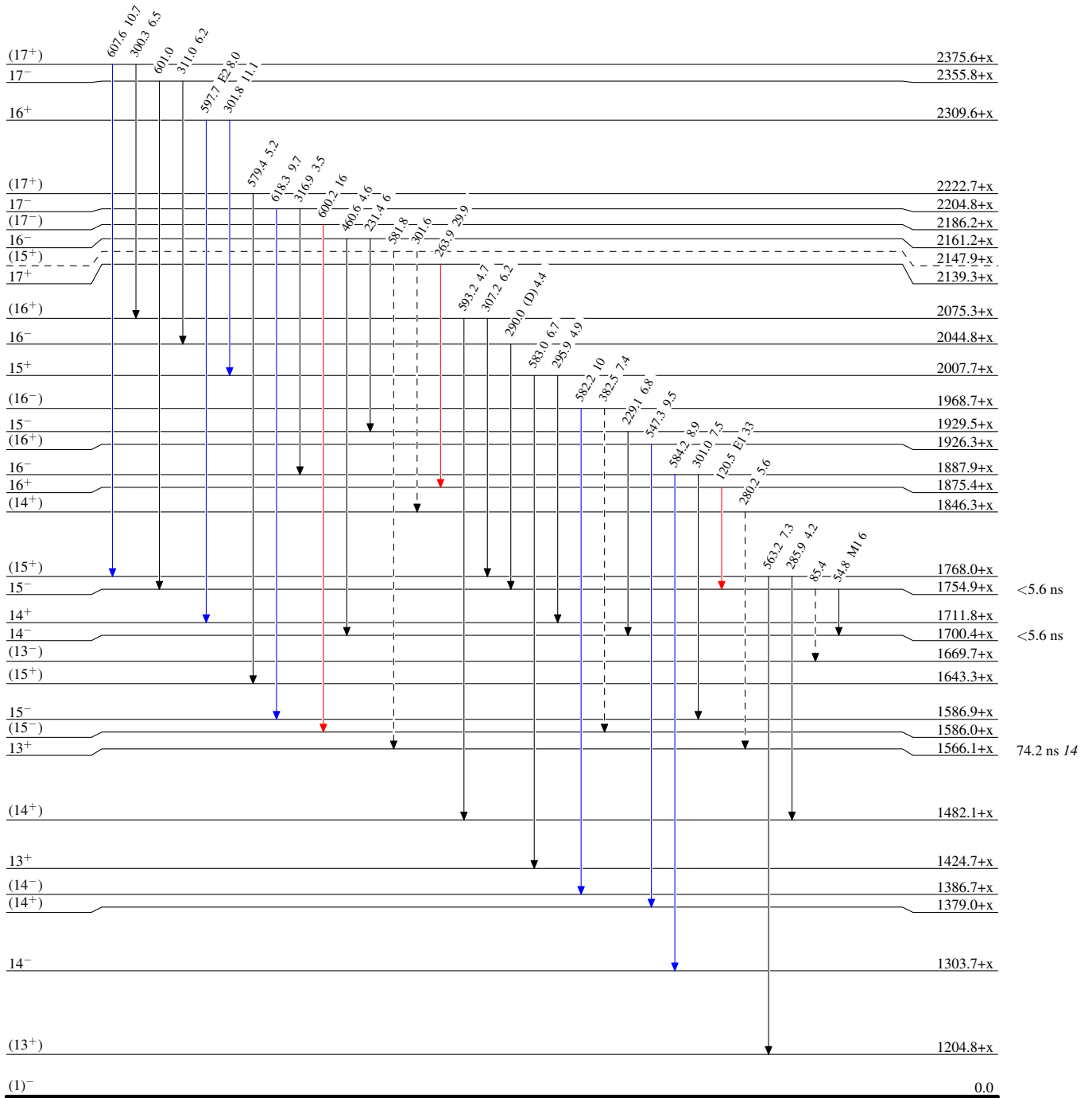
$^{176}\text{Yb}(^{10}\text{B},6n\gamma), ^{174}\text{Yb}(^{11}\text{B},5n\gamma)$  2005El10,1987Kr20

Legend

Level Scheme (continued)

Intensities: Relative  $I_\gamma$

- $I_\gamma < 2\% \times I_\gamma^{\text{max}}$
- $I_\gamma < 10\% \times I_\gamma^{\text{max}}$
- $I_\gamma > 10\% \times I_\gamma^{\text{max}}$
- - -  $\gamma$  Decay (Uncertain)



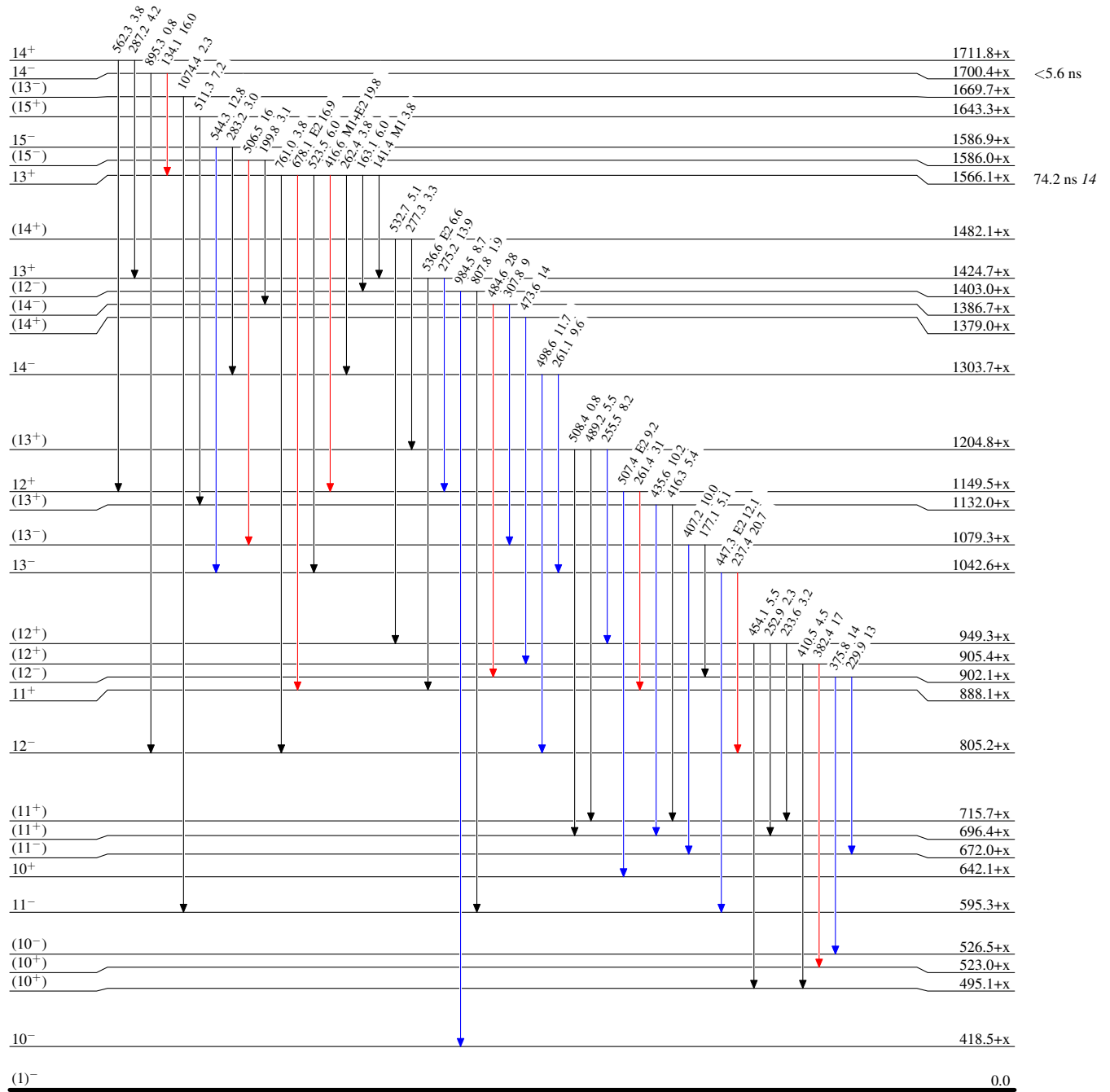
$^{176}\text{Yb}(^{10}\text{B},6n\gamma), ^{174}\text{Yb}(^{11}\text{B},5n\gamma)$  2005El10,1987Kr20

Level Scheme (continued)

Intensities: Relative  $I_\gamma$

Legend

- $I_\gamma < 2\% \times I_\gamma^{\text{max}}$
- $I_\gamma < 10\% \times I_\gamma^{\text{max}}$
- $I_\gamma > 10\% \times I_\gamma^{\text{max}}$



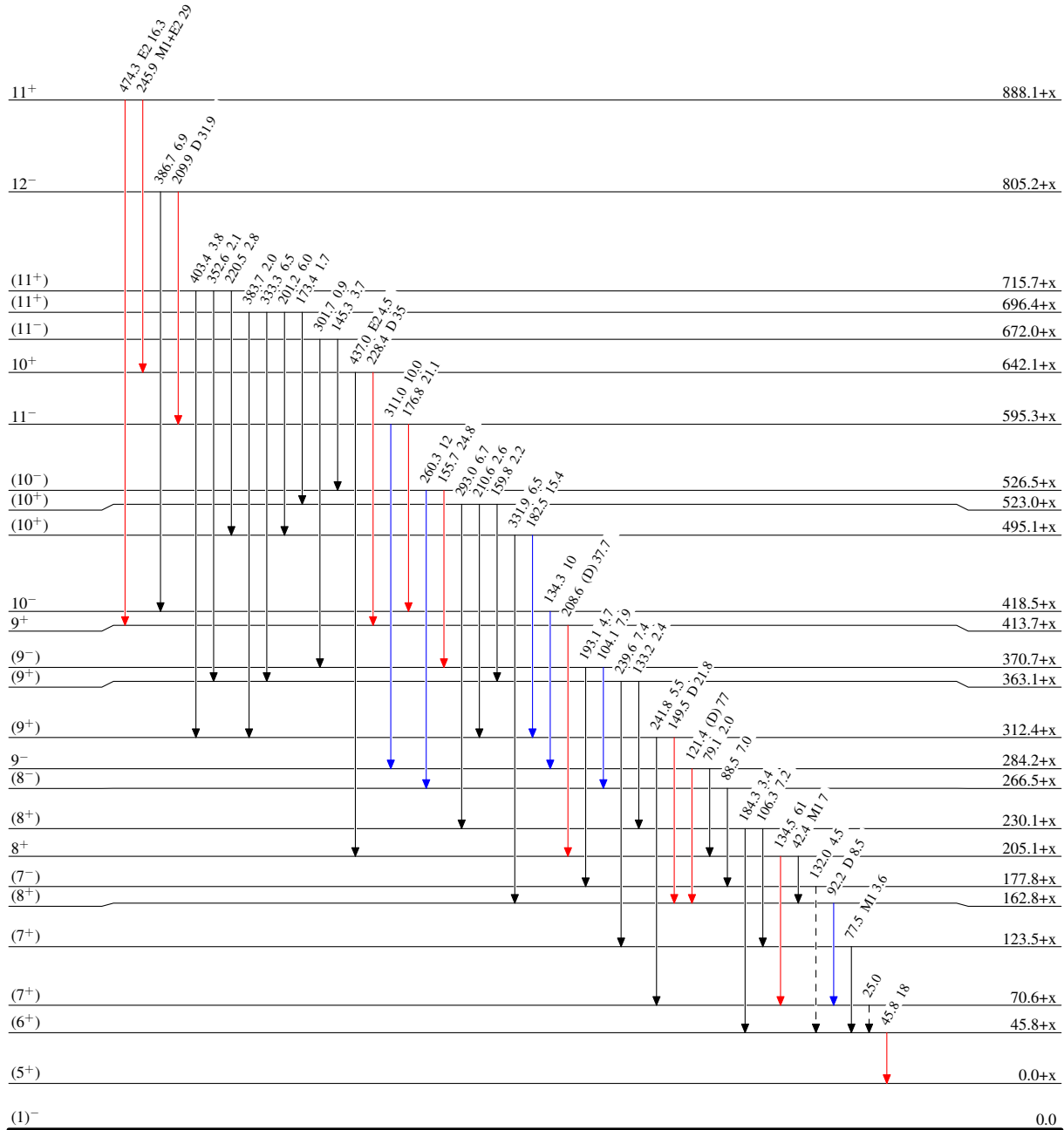
$^{176}\text{Yb}(^{10}\text{B},6n\gamma), ^{174}\text{Yb}(^{11}\text{B},5n\gamma)$  2005El10,1987Kr20

Legend

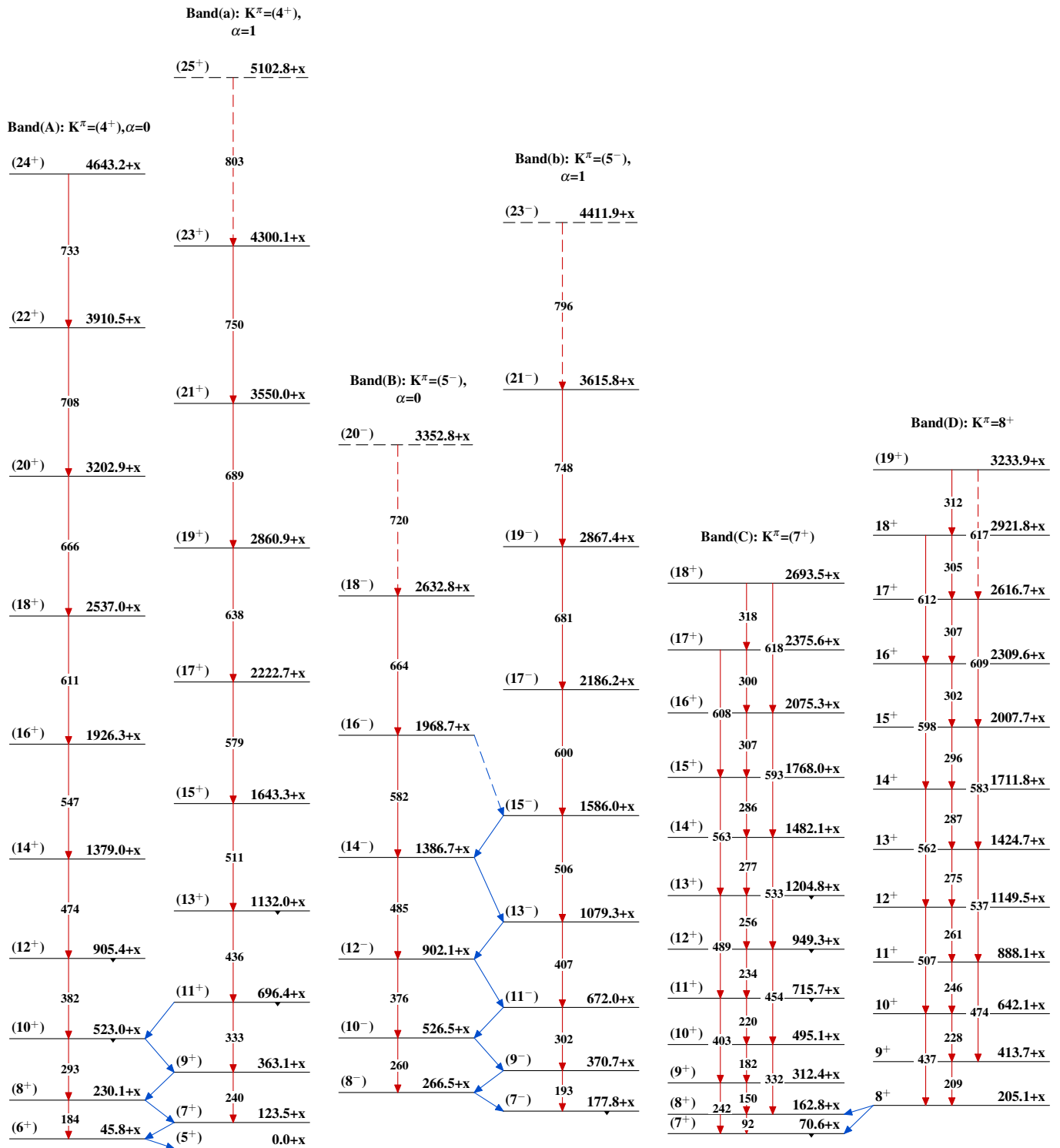
Level Scheme (continued)

Intensities: Relative  $I_\gamma$

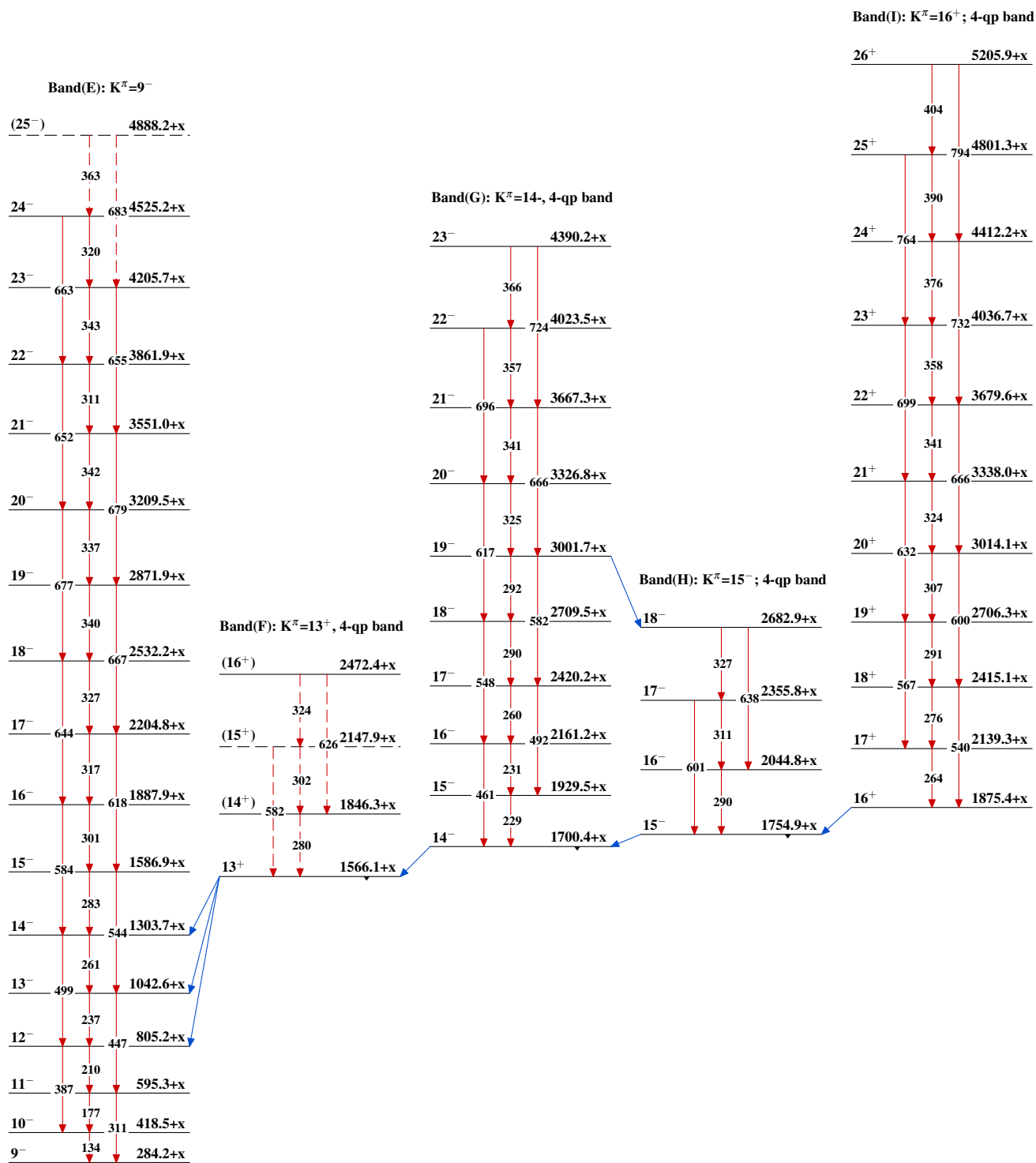
- $I_\gamma < 2\% \times I_\gamma^{max}$
- $I_\gamma < 10\% \times I_\gamma^{max}$
- $I_\gamma > 10\% \times I_\gamma^{max}$
- - -  $\gamma$  Decay (Uncertain)

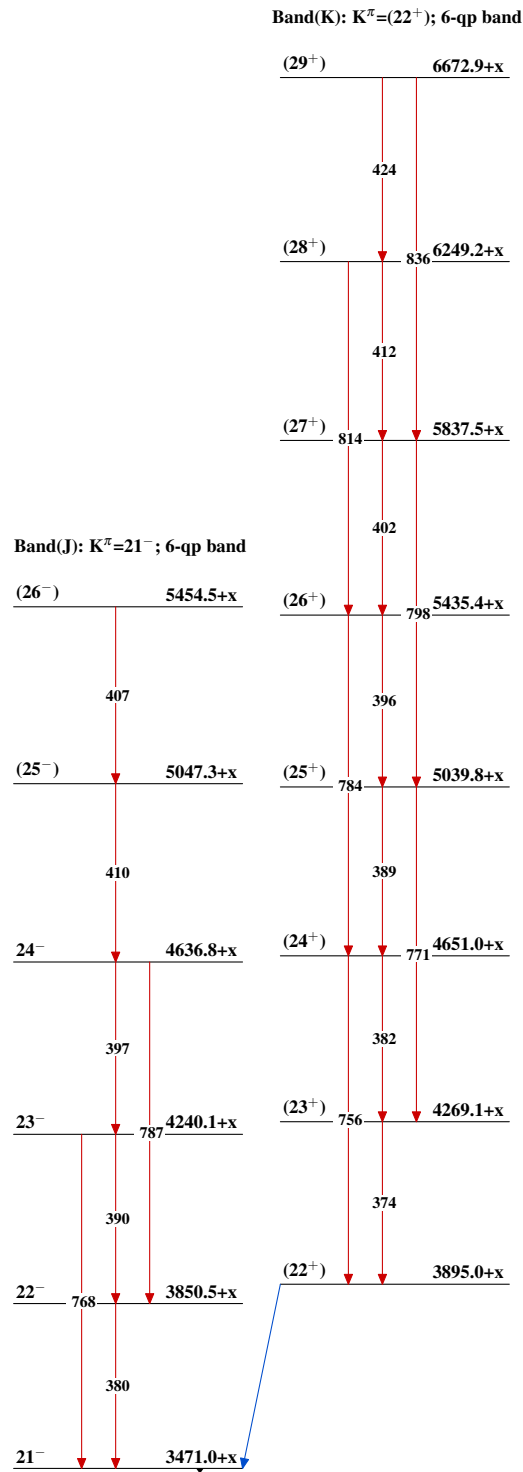


75.6 ns 14

$^{176}\text{Yb}(^{10}\text{B},6\text{n}\gamma), ^{174}\text{Yb}(^{11}\text{B},5\text{n}\gamma)$  2005El10,1987Kr20 $^{180}_{75}\text{Re}_{105}$



$^{176}\text{Yb}(^{10}\text{B},6\text{n}\gamma), ^{174}\text{Yb}(^{11}\text{B},5\text{n}\gamma)$  2005E110,1987Kr20 (continued)

$^{176}\text{Yb}(^{10}\text{B},6\text{n}\gamma), ^{174}\text{Yb}(^{11}\text{B},5\text{n}\gamma)$  2005El10,1987Kr20 (continued) $^{180}_{75}\text{Re}_{105}$